表面損傷を与えた Si 基板における Si 欠陥発光の寿命評価

PL lifetimes of Si defect-related PLs in surface-damaged Si substrate 九工大情報工,[○]扇 和也,岡 直大,池田修哉,瀬戸島健太,寺井慶和

Kyushu Institute of Technology, OK. Ogi, N. Oka, S. Ikeda, K. Setojima and Y. Terai.

E-mail: m232018k@mail.kyutech.jp

【はじめに】応力変形により転位が導入された Si 基板では、D-line と呼ばれる Si 欠陥由来の発光が複数観測される[1]. その中で D1-line の発光エネルギー(約 $0.812\,\mathrm{eV}$)は、 β -FeSi $_2$ のバンド間遷移発光(A-band: $0.803\,\mathrm{eV}$)と非常に近い、そのため、Si 基板上に作製した β -FeSi $_2$ では、観測される $1.5\,\mu\mathrm{m}$ 発光の起源の同定が困難となる。これまで我々は、イオン注入法で作製した β -FeSi $_2$ とイオン損傷を与えた Si 基板で時間分解発光測定を行い、発光寿命評価が A-band と D1-line の区別に有効であると報告してきた[2]. しかし、Si 欠陥発光の寿命値の報告例は少なく、報告値もナノ秒からマイクロ秒の領域で異なっている[3]. そこで、詳細に D-line の発光寿命を調べることを目的に、本研究では表面損傷を与えた Si 基板を作製し、発光および発光寿命評価を行ったので報告する.

【実験方法】ダイヤモンドスクライバー (切削圧力, 約 1 kg) を用い, p-Si(001)基板 (ρ = 8–12 Ω ·cm) 鏡面へ格子状 (0.5 mm 間隔) の表面損傷を与えた (Fig. 1 挿入図). その後, RTA により真空中 900 °C, 0.5 h の熱処理を行い, 欠陥の導入を試みた. 発光測定では Nd:YAG レーザー (532 nm)を

励起光源に用い、発光は Ge-pin 検出器で測定した. 時間 分解発光測定では、Nd:YAG レーザー(532 nm, 0.6 ns, 17 kHz)を励起光源に用い、InGaAs PMT を用いた時間相関 単一光子計数法により測定した.

【結果】Fig. 1 に発光スペクトルの温度依存性を示す. 11 K で 0.807 eV と 0.871 eV にピークを示す強い発光が 観測され、160 K まで発光が検出された. 両者のピーク エネルギーは D1-line および D2-line の報告値とほぼ一 致する. よって、表面損傷を与えた Si 基板内に欠陥が 導入され、D1 と D2-line に対応する欠陥準位が形成され たと考えられる. それぞれのピークエネルギーで測定し た, D1-line と D2-line の発光強度の減衰曲線を Fig. 2 に 示す. 指数関数によるフィッティングの結果(図中の実 線), D1-line において $\tau_1 = 40 \text{ ns}$, $\tau_2 = 700 \text{ ns}$, $\tau_3 = 4.9 \text{ }\mu\text{s}$ の 発光寿命が得られた. これらの値は、イオン損傷 Si 基 板での D1-line の発光寿命($\tau_1 = 14 \text{ ns}, \tau_2 = 140 \text{ ns}, \tau_3 = 3.3$ μs [2])と比較し、若干長い寿命値となっている. 両者の 試料では、欠陥の導入方法が大きく異なり、発光スペク トル形状も異なっているにもかかわらず, D1-line で短 い寿命(ナノ秒)と長い寿命(マイクロ秒)が観測され る点で一致している. よって, 欠陥の導入方法に依存せ ず、D1-line では光励起キャリアの早い緩和過程と遅い 緩和過程が混在すると判断される.

- [1] R. Sauer, et al., Appl. Phys. A 36, 1 (1985).
- [2] Y. Terai, et al., J. Appl. Phys. 54, 07JB05 (2015).
- [3] S. Fukatsu, et al., Thin Solid Films 294, 33 (1997).

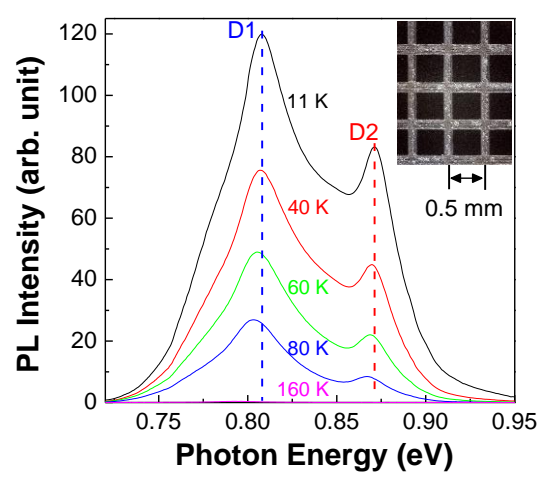


Fig. 1 Temperature dependence of PL spectra in surface-damaged Si substrate.

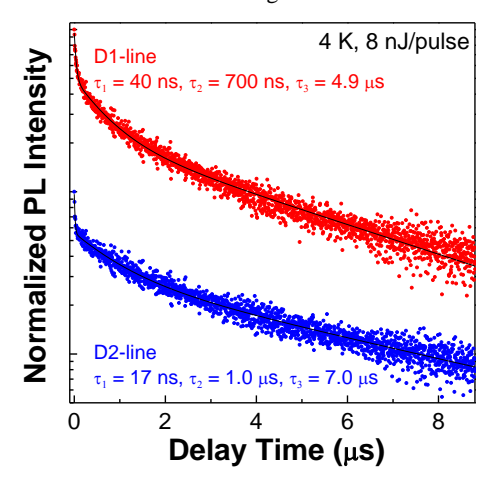


Fig. 2 PL decay curves of D1 and D2-line.